

การทำนายเชิงตัวเลขของการไฟลแบบปั่นป่วนในช่องที่มีการฉีดทำมูมด้านข้าง

## Numerical Prediction of Turbulent Channel Flow with Inclined Injection

สมชาย ศรีพันโนพิพัฒน์ สมิทธิ์ เอี่ยมสะอาด เรศีรพงศ์ ทุยบันนท์  
ภาควิชาศึกษาการเมืองก่อ คณะวิศวกรรมศาสตร์ มหาวิทยาลัยเทคโนโลยีมหานคร  
51 ถ.เชื่อมสัมพันธ์ เขตหนองจอก กรุงเทพ 10530  
(662)988-3666 ต่อ 241 โทรสาร(662)988-3666 ต่อ 241 E-mail:ssomchai@mut.ac.th

โทร (662)988-3666 ต่อ 241, โทรสาร(662)988-3666 ต่อ 241, E-mail:ssomchai@mut.ac.th

พงษ์เจต พรมวงศ์  
ภาควิชาวิศวกรรมเครื่องกล คณะวิศวกรรมศาสตร์ สถาบันเทคโนโลยีพระจอมเกล้าเจ้าคุณทหารลาดกระบัง  
ถ.ฉลองกรุง เขตคลองเตย 10520  
โทร. (662)326-9987, โทรสาร (662)326-9053, E-mail: kpponaj@kmitl.ac.th

บากดี้ย่อ

บทความนี้นำเสนอการท่านายการไหลแบบบันปวนในช่องที่มีการนิดทำมุ่งด้านข้าง โดยอาศัยวิธีการปริมาตรสี่เหลี่ยมร่วมกับ  $k - \varepsilon$  model และ algebraic stress model (ASM) ในการวิเคราะห์ที่มีสมมุติฐานว่าของไหลที่พิจารณาเป็นแบบอัดตัวไม่ได้อย่างคงตัว โดยมีการตรวจสอบของแบบจำลองและ schemes ที่ใช้ในการคำนวณ ซึ่งในที่นี้มีอยู่ด้วยกัน 2 แบบ คือ upwind และ second order upwind (SOU) schemes จากการจำลองพบว่าเมื่อนำผลการคำนวณที่ได้ไปเบรย์นเกี่ยวกับผลการทดสอบของปรากว่า ASM สามารถท่านายได้ดีกว่า  $k - \varepsilon$  model และ SOU scheme มีประสิทธิภาพดีกว่า upwind scheme เมื่อโดยภาพรวม

### **Abstract**

The paper presents a numerical simulation of a turbulent channel flow with inclined injection. A finite volume method with the  $k - \varepsilon$  model and an algebraic stress model (ASM) for steady incompressible flow was used to carry out all computations. To investigate the effect of models and numerical schemes on the predicted results, upwind and SOU schemes were employed. The computations show that ASM performs better than the  $k - \varepsilon$  model and prediction with SOU scheme is better than that with the upwind scheme.

## 1. บทนำ

การจัดของให้เข้าไปยังกราฟิกการให้ผลที่สม่ำเสมอและไม่สม่ำเสมอเกิดขึ้นงานทางด้านวิเคราะห์อย่างตัวอย่างเช่นการปล่อยก้าช้อเสียจากป้องไฟไปยังกราฟิกในชั้นบรรยายกาศ การ

ปล่อยน้ำเสียลงแม่น้ำ, กระบวนการ film cooling ในใบพัดกังหันแก๊สเทอร์ไนน์และการบวนการผสมในเตาเผาเพื่อระบายความร้อน อย่างไรก็ตามในบางกรณียกตัวอย่างเช่นการดูดของเจ็ทบีมและการให้เหลวของกระแสงกาศ บริสุทธิ์ในระบบระบายอากาศ กระบวนการให้เหลวไม่ได้มีอยู่ก่อนแต่จะมาจากการให้เหลวในแหล่งน้ำที่มาจากน้ำของภูมิภาคผ่านช่องด้านข้างที่ฉีดทำมุกับผนังของช่องการให้เหลว ใบพัดความเร็วในการทำงานของการให้เหลวในช่องลมที่มีการฉีดอากาศผ่านช่องเล็กๆ ซึ่งฉีดทำมุกบนผนังด้านข้างเพื่อถึงดูดอากาศให้ไหลเข้ามาในช่องลมโดยนำผลการคำนวณที่ได้ไปเปรียบเทียบกับผลการทดลองของ Liou et al. (1999) [3]

## 2. ពន្លឹមរី

## 2.1 สมการพื้นฐานของการไหล

การวิเคราะห์การให้ผลในที่นี้ ซึ่งเป็นปัญหาในสองมิติจะมีสมการเชิงอนุพันธ์ที่ใช้อยู่คือ สมการอนุรักษ์มวลกับสมการโมเมนตัม โดยสมการดังกล่าวเป็นอยู่ในของค่าเฉลี่ยของเวลา (time average) ซึ่งแสดงในแบบ tensor ดังนี้

สมการอนรักษ์มวล

$$\frac{\partial}{\partial x_i} (\rho u_i) = 0 \quad (1)$$

สมการโมเมนต์

$$\frac{\partial(\rho u_i u_j)}{\partial x_i} = -\frac{\partial p}{\partial x_j} + \frac{\partial}{\partial x_i} (\bar{t}_{ij} + \tau_{ij}) \quad (2)$$

ค่าความเค้นเฉลี่ยเนื่องจากความหนืด,  $\bar{v}_i$  จะประมาณเป็น

$$(3) \quad \bar{\tau}_{ij} = \mu_l \left( \frac{\partial u_i}{\partial x_j} + \frac{\partial u_j}{\partial x_i} \right)$$

โดยที่  $\mu_l$  เป็น laminar viscosity

ส่วนค่าความเค้นเฉลี่ยของ Reynolds,  $\tau_{ij}$  จะเขียนอยู่ในรูป

$$(4) \quad \tau_{ij} = -\rho \bar{u}_i' \bar{u}_j'$$

ค่า  $\tau_{ij}$  ในสมการที่ (4) เป็นค่าที่ไม่รู้ ในการหาค่าดังกล่าวจำเป็นต้องอาศัยแบบจำลองซึ่งในทความนี้ใช้แบบจำลองในการหาค่า  $\tau_{ij}$  อยู่ 2 แบบคือ  $k - \varepsilon$  model และ algebraic stress model (ASM)

## 2.2 แบบจำลองความบันปวน (Turbulence models)

### 2.2.1 $k - \varepsilon$ model

ใน  $k - \varepsilon$  model [4, 8] เทอม Reynolds stress จะถูกสร้างเป็นความสัมพันธ์เชิงเส้นกับ mean strain rate โดย eddy-viscosity ที่เชิงค่า eddy-viscosity จะกำหนดให้มีความสัมพันธ์กับ turbulent kinetic energy ( $k$ ) และ dissipation rate ( $\varepsilon$ ) โดยใช้ Boussinesq's approximation คือ

$$(5) \quad \tau_{ij} = -\frac{2}{3} \delta_{ij} (\rho k) + \mu_t \left( \frac{\partial u_i}{\partial x_j} + \frac{\partial u_j}{\partial x_i} \right)$$

ซึ่ง  $\mu_t = \rho C_\mu k^2 / \varepsilon$  คือ turbulent eddy-viscosity

สมการของ turbulent kinetic energy (TKE),  $k$  จะอยู่ในรูป

$$(6) \quad \frac{\partial}{\partial x_j} (\rho u_j k) = \frac{\partial}{\partial x_j} \left( \frac{\mu_e}{\sigma_k} \frac{\partial k}{\partial x_j} \right) + G - \rho \varepsilon$$

สมการ dissipation rate ของ turbulent kinetic energy,  $\varepsilon$  จะเป็น

$$(7) \quad \frac{\partial}{\partial x_j} (\rho u_j \varepsilon) = \frac{\partial}{\partial x_j} \left( \frac{\mu_e}{\sigma_\varepsilon} \frac{\partial \varepsilon}{\partial x_j} \right) + \frac{\varepsilon}{k} (C_{\varepsilon 1} G - C_{\varepsilon 2} \rho \varepsilon)$$

ซึ่ง  $G$  แทน generation rate ของ turbulent kinetic energy ขณะที่  $\rho \varepsilon$  เป็น destruction rate โดย  $G$  จะเป็น

$$(8) \quad G = \mu_e \left[ \left( \frac{\partial u_i}{\partial x_j} + \frac{\partial u_j}{\partial x_i} \right) \frac{\partial u_i}{\partial x_j} \right]$$

ค่าของเขตสำหรับค่าต่างของ turbulent ที่ใกล้ผนังสามารถหาได้จาก wall function [4, 8] ค่า  $C_\mu, C_{\varepsilon 1}, C_{\varepsilon 2}, \sigma_k$  และ  $\sigma_\varepsilon$  เป็นค่าคงที่จากการ transport

### 2.2.2 Algebraic stress model (ASM)

ใน algebraic stress model (ASM) [9] จะหาค่าของ Reynolds stress จาก Reynolds stress transport equation โดยใช้ Rodi's approximation ประมาณค่าเทอม convection และ diffusion และจัดรูปของ Reynolds stress ให้อยู่ในรูปของสมการพีชคณิตได้เป็น

$$(9) \quad \tau_{ij} = \frac{2}{3} \delta_{ij} \rho k + \frac{\lambda k}{\varepsilon} \left( G_{ij} - \frac{2}{3} \delta_{ij} G \right)$$

$$(10) \quad G_{ij} = \rho P_{ij} = - \left( \rho \bar{u}_i' \bar{u}_k' \frac{\partial u_j}{\partial x_k} + \rho \bar{u}_j' \bar{u}_k' \frac{\partial u_i}{\partial x_k} \right)$$

โดยที่  $\lambda$  เป็นค่าคงที่กำหนดให้เท่ากับ 0.135 [9]

## 2.3 รูปแบบโดยทั่วไปของสมการควบคุม

สมการเริงอนุพันธ์ที่ก่อถาวรข้างต้นทุกสมการสามารถเขียนในรูปแบบมาตรฐานที่ประกอบไปด้วยเทอม convection, diffusion และ source สำหรับการไหลในสองมิติได้ดังต่อไปนี้

$$(11) \quad \frac{\partial}{\partial x} (\rho u \phi) + \frac{\partial}{\partial y} (\rho v \phi) - \frac{\partial}{\partial x} \left( \Gamma_{\phi x} \frac{\partial \phi}{\partial x} \right) - \frac{\partial}{\partial y} \left( \Gamma_{\phi y} \frac{\partial \phi}{\partial y} \right) = S_\phi$$

โดยที่  $\phi$  เป็นตัวแปรที่พิจารณา,  $\Gamma_{\phi}$  เป็นสัมประสิทธิ์ของการแลกเปลี่ยนและ  $S_\phi$  เป็นเทอมของ source สำหรับรายละเอียดของค่า  $\Gamma_{\phi}$  และ  $S_\phi$  ที่ค่าฟ์ต่างๆของ  $k - \varepsilon$  model และ ASM สามารถหารายละเอียดได้จากเอกสารอ้างอิง [1, 2]

## 2.4 การ Discretise สมการควบคุม

Discretisation สมการจะทำได้โดยการยืนทิเบตสมการควบคุมตลอดทั้งปริมาตรควบคุมที่มีการแบ่งออกเป็นกริด ทำให้ได้ระบบสมการอย่างง่ายดังต่อไปนี้

$$(12) \quad a_P \phi_P = a_E \phi_E + a_W \phi_W + a_N \phi_N + a_S \phi_S + S$$

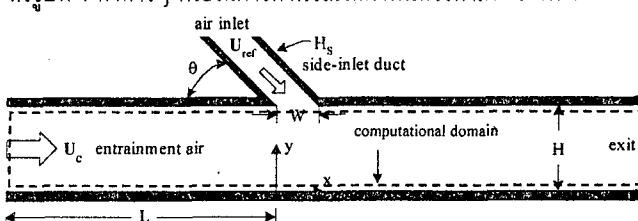
ในสมการที่ (12) นี้ จะได้มาจากการ discretise diffusion term ของสมการควบคุม โดยใช้ central differencing scheme ในขณะที่ convection (8) term ของสมการควบคุมนั้น ในบทความนี้จะ discretise โดยอาศัย scheme 2 schemes คือ upwind และ SOU schemes [5, 7]

## 2.5 กระบวนการหาค่าตอบ

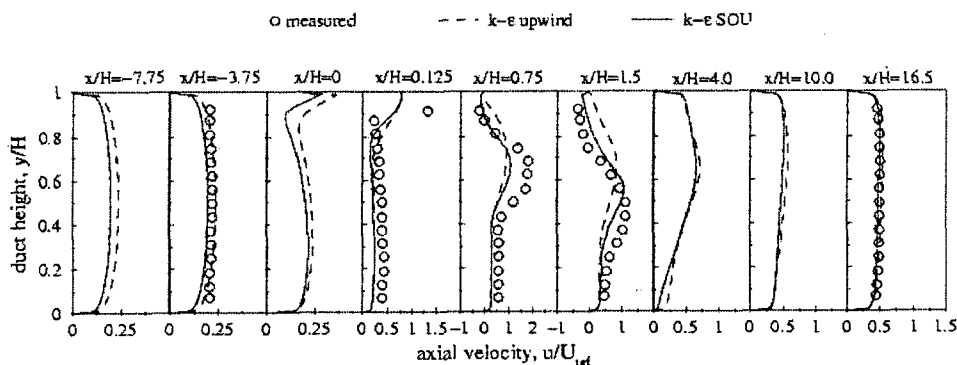
การคำนวณในที่นี้ สมการค่าเฉลี่ยของเวลา (time-averaged Navier-Stokes) ในสมการที่ (1) และ (2), สมการ turbulent kinetic energy (TKE) ในสมการที่ (6), สมการ dissipation rate ของ turbulent kinetic energy ในสมการที่ (7), สมการที่ (4) สำหรับ  $k-\varepsilon$  model หรือ สมการที่ (9) สำหรับ algebraic stress model (ASM) จะถูกแก้สมการด้วยวิธีการซึ่งตัวเลขที่เรียกว่า วิธีการปริมาตรสี่เหลี่ยม (finite volume method) โดยใช้ SIMPLE algorithm [5, 7] ในการแยกความสัมพันธ์ที่มีต่อกันระหว่างความตันกับความเร็ว และยังใช้ในขั้นตอนการทำซ้ำ โดยใช้ upwind และ SOU schemes ในการ discretise เทอม convection ส่วน เทอม diffusion จะถูก discretise โดย central differencing scheme บันกริดที่แบ่งแบบ staggered ในการแก้ระบบสมการที่เกิดขึ้นจะใช้เทคนิคของวิธีการ TDMA (Tri Diagonal Matrix Algorithm) แบบ line by line sweeping ในการหาค่าตอบ [5, 7]

## 3. ลักษณะของการไหล

Liou et al. (1999) ได้ทำการศึกษาการไหลในช่องการไหลที่มีการฉีดของไหลผ่านช่องฉีดที่ห้ามผ่านโดยวิธีการทดลอง ซึ่งช่องการไหลนี้จะไม่มีของไหลหลอยู่ก่อนแต่จะอาศัยแรงดึงจากการฉีดของไหลใน การเห็นได้ชัดว่าให้ช่องการไหลวิ่งเข้ามาในช่องการไหล ในการวัดความเร็วและความบันบวนได้ใช้ laser Doppler velocimetry (LDV) ใน การวัดค่าต่างๆ ซึ่งจากความละเอียดและความถูกต้องของผลที่ได้นี้ ถูกนำมาใช้เพื่อเปรียบเทียบในการจำลองการไหลนี้ ช่องการไหลมีลักษณะดังรูปที่ 1 ค่าต่างๆ ที่ใช้ในการคำนวณได้กำหนดไว้ตามตารางที่ 1



รูปที่ 1 ลักษณะช่องการไหล และ computational domain



รูปที่ 2 การเปลี่ยนแปลงของความเร็วตามแนวแกนที่ทำนายโดย  $k-\varepsilon$  model

## ตารางที่ 1 ขนาดของช่องการไหลและมุมที่ใช้ในการคำนวณ

H (mm)	$H_s$ (mm)	$\theta$	W (mm)	L (mm)
40	10	45°	14.1	320

ในการคำนวณจะใช้ความเร็วเฉลี่ยของการฉีดอากาศ ( $U_{ref}$ ) เท่ากับ 44.5 m/s ที่อัตราการไหลเท่ากับ  $4 \times 10^3$  L/min ซึ่งมีค่า Reynolds เท่ากับ  $2.86 \times 10^4$  คุณสมบัติของอากาศในการคำนวณกำหนดไว้ที่อุณหภูมิ 25 °C ซึ่งมีค่าความหนืดเท่ากับ  $1.85 \times 10^{-5}$  Ns/m<sup>2</sup> และความหนาแน่นเท่ากับ 1.2 kg/m<sup>3</sup> โดยจำนวนกริดที่ใช้ในการคำนวณเท่ากับ 120x40 (120 โหนดตามแกน x และ 40 โหนดตามแนวแกน y)

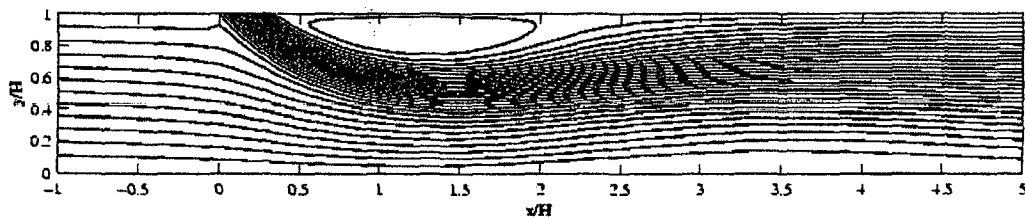
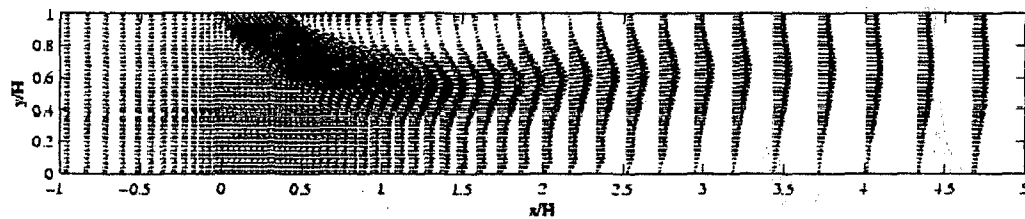
## 4. ผลการคำนวณและการวิเคราะห์

การทำนายการไหลโดย  $k-\varepsilon$  model

จากการจำลองการไหลโดย  $k-\varepsilon$  model ร่วมกับ 2 scheme ผลลัพธ์ที่ได้ถูกแสดงในรูปของความเร็วตามแนวแกนที่เป็นในรูปของตัวแปรรัมิ  $u/U_{ref}$  ที่ต่าแห่ง  $x/H = -7.75, -3.75, 0.0, 0.125, 0.75, 1.5, 4.0, 10.0$  และ 16.5 ตามลำดับ โดยที่  $U_{ref}$  เป็นความเร็วเฉลี่ยของการฉีดอากาศภายในช่องฉีด นอกจากนี้ยังแสดงผลโดย contour plot และ vector plot อีกด้วย

รูปที่ 2 เป็นรูปที่แสดงการเปลี่ยนแปลงรูปร่างของความเร็วเฉลี่ยในแนวแกน x เมื่อทำการฉีดที่มุม 45 องศา จากรูปสังเกตเห็นว่าความเร็วเฉลี่ยที่คำนวณได้ที่ต่าแห่ง  $x/H = -3.75, 0.125, 0.75, 1.5$  และ 16.5 ซึ่งเป็นต่าแห่งที่มีผลการทดลองเปรียบเทียบ เมื่อมองโดยรวมแล้วปะจุกว่า SOU scheme ทำนายได้ใกล้เคียงกับ upwind scheme โดยเฉพาะในต่าแห่ง  $x/H=0.75$  และ 1.5

Contour plot และ vector plot ที่ได้จากการคำนวณโดยใช้ SOU scheme แสดงในรูปที่ 3 และ 4 ตามลำดับ จากรูปที่ 3 แสดง contour plot ของ stream function จากรูปสังเกตว่ามี recirculation เกิดขึ้นที่ต่าแห่งถัดไปจากช่องฉีด เมื่อพิจารณาจาก vector plot ของความเร็วตั้งแสดงในรูปที่ 4 ก็พบ vector ของความเร็วที่ไหลย้อนกลับที่บริเวณได้ผ่านด้านบนของช่องถัดจากช่องฉีดโดยจุด reattachment ที่  $x/H$  ประมาณ 2.2

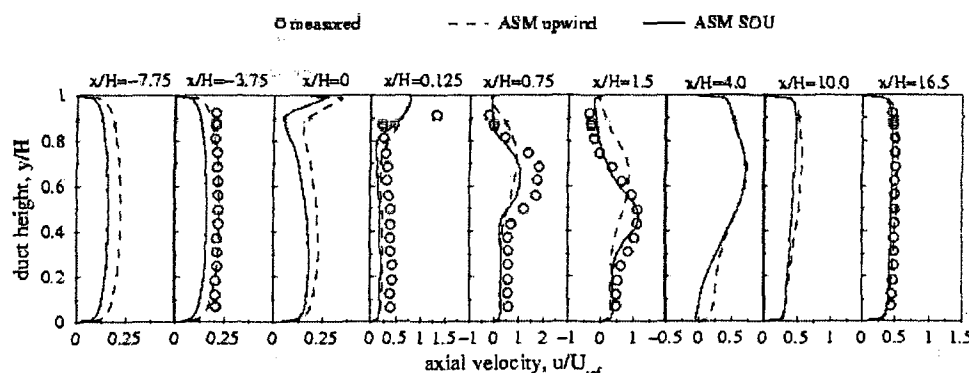
รูปที่ 3 Contour plot ของ stream function ทำนายโดย  $k - \varepsilon$  model ร่วมกับ SOU schemeรูปที่ 4 Vector plot ของความเร็ว ทำนายโดย  $k - \varepsilon$  model ร่วมกับ SOU scheme

#### การทำนายการไหลโดย Algebraic Stress model (ASM)

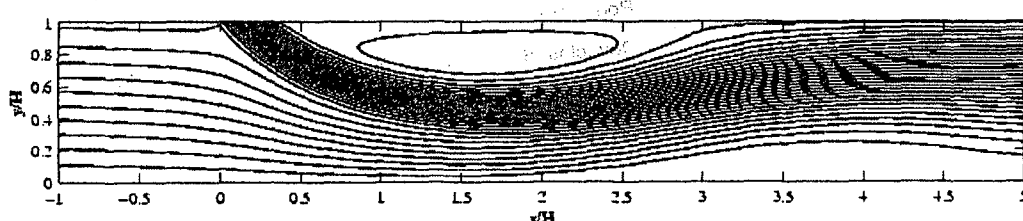
จากการทำการไหลโดย ASM ที่ใช้ 2 schemes คือ upwind และ SOU schemes แสดงในรูปที่ 5 ซึ่งมีตำแหน่งที่แสดงเช่นเดียวกับรูปที่ 2

รูปที่ 5 เป็นรูปที่แสดงการเปลี่ยนแปลงรูปร่างของความเร็วเฉลี่ยในแนวแกน  $x$  เมื่อทำการฉีดที่มุม 45 องศา จากรูปเมื่อสังเกตจะเห็นว่า ความเร็วเฉลี่ยที่คำนวณในตำแหน่ง  $x/H = -3.75, 0.125, 0.75, 1.5$  และ  $16.50$  ซึ่งเป็นตำแหน่งที่มีผลการทดลองเปรียบเทียบ ปรากฏว่าในตำแหน่งก่อนถึงช่องฉีด upwind scheme ทำนายได้ใกล้เคียงกว่า SOU scheme แต่เมื่อเลยช่องฉีดไป SOU scheme กลับทำนายได้ใกล้เคียงกับผลการทดลองกว่า upwind scheme โดยเฉพาะในตำแหน่ง  $x/H=1.5$

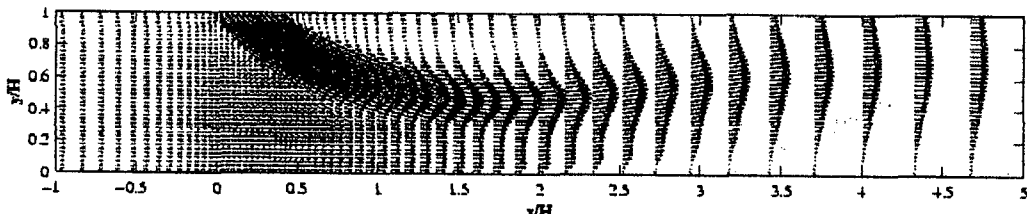
Contour plot และ vector plot ที่ได้จากการคำนวณโดยใช้ SOU scheme และในรูปที่ 6 และ 7 ตามลำดับ จากรูปที่ 6 สังเกตว่ามี recirculation เกิดขึ้นในตำแหน่งถัดไปจากช่องฉีด เมื่อพิจารณาจาก vector plot ของความเร็วตั้งแต่ในรูปที่ 7 ก็พบ vector ของความเร็วที่ไหลย้อนกลับที่บริเวณได้ผ่านด้านบนของช่องการไหลถัดจากช่องฉีดโดยชุด reattachment อยู่ที่  $x/H$  ประมาณ 2.9 เมื่อทำการเปรียบเทียบกับ contour plot ซึ่งทำนายโดย  $k - \varepsilon$  model ที่ใช้ SOU scheme ใน การคำนวณเช่นกัน จะเห็นว่าขนาดของ recirculation ที่เกิดขึ้นนั้นมีขนาดที่ใหญ่กว่าและเมื่อมองรูป vector plot ก็จะสังเกตเห็นลักษณะของการหมุนวนของ vector ความเร็วได้อย่างชัดเจน



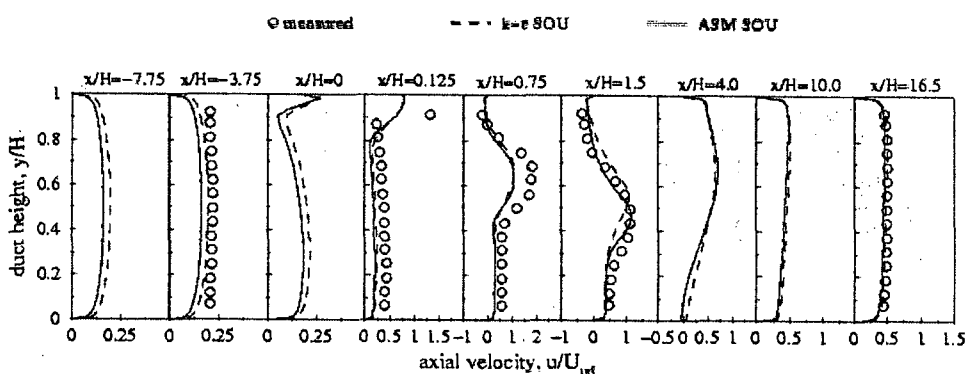
รูปที่ 5 การเปลี่ยนแปลงของความเร็วตามแนวแกน ทำนายโดย ASM



รูปที่ 6 Contour plot ของ stream function ทำนายโดย ASM ร่วมกับ SOU scheme



รูปที่ 7 Vector plot ของความเร็ว ท่ามกลางโดย ASM ร่วมกับ SOU scheme

รูปที่ 8 การเปรียบเทียบผลการท่ามกลางความเร็วตามแนวแกน ระหว่าง  $k-\varepsilon$  model กับ ASM

รูปที่ 8 แสดงการเปรียบเทียบผลการคำนวนโดย  $k-\varepsilon$  model กับ ASM ที่ใช้ SOU scheme จากรูปพบว่า ความเร็วในช่วงก่อนถึงช่องนีด  $k-\varepsilon$  model ได้ค่าที่มากกว่า ASM เล็กน้อย ส่วนในช่วงหลังจากช่องนีดค่าความเร็วจากทั้ง 2 model ไม่แตกต่างกัน และเมื่อพิจารณาในตำแหน่งที่มีการวัดพบว่า ASM ท่ามายได้กว่า  $k-\varepsilon$  model ดังแสดงในตารางที่  $x/H=1.5$  อย่างชัดเจน

## 5. สรุป

ผลการทำนายการไหลภายในช่องการไหลที่มีการฉีดด้านข้างโดยเปรียบเทียบระหว่าง  $k-\varepsilon$  model กับ ASM ในกรณีดีของไหลทามุม 45 องศา กับ ช่องการไหลสามารถสรุปได้ว่าผลการทำนายการไหลที่ทำนายโดย ASM เมื่อมองโดยรวมแล้วทำนายได้ดีกว่า  $k-\varepsilon$  model และการทำนายที่ใช้ SOU scheme ในการคำนวนให้ผลการทำนายที่ใกล้เคียงกับผลการทำทดลองมากกว่าการใช้ upwind scheme

## เอกสารอ้างอิง

- [1] พงษ์เจต พรมวงศ์ และ สมชาย ศรีพัฒนาพิพัฒน์, "การทำนายลักษณะการไหลบันบานผ่านสิ่งกีดขวางรูปทรงสี่เหลี่ยมจัตุรัสในช่อง 2 มิติ", สัมมนาวิชาการวิศวกรรมเครื่องกลแห่งประเทศไทย ครั้งที่ 13, 2542, เล่ม 1, หน้า 166-171.
- [2] พงษ์เจต พรมวงศ์ และ สมชาย ศรีพัฒนาพิพัฒน์, "การทำนายความเร็วของ流れในช่องที่มีการฉีดด้านข้าง", สัมมนาวิชาการวิศวกรรมเครื่องกลแห่งประเทศไทย ครั้งที่ 14, 2543, หน้า 66-72.
- [3] Liou, T.M., Liao, C.C., Chen, S.H. and Lin, H.M., "Study on Side-Jet Injection Near a Duct Entry With Various Injection Angles", ASME Journal of Fluid Engineering, Vol. 121, pp. 580-587
- [4] Wilcox C.D., "Turbulent Modelling for CFD", DCW Industries, Inc., (1993), California
- [5] Patankar S.V., "Numerical Heat Transfer and Fluid Flow", Hemisphere, (1980), Washington, D.C.
- [6] Gatski T.B., "Turbulent Flows: Model Equations and Solution Methodology", in Handbook of Computational Fluid Mechanics, Edited by Roger Peyret, Academic Press Ltd., (1986), London
- [7] Versteeg H.K. and Malalasekera W., "An Introduction to Computational Fluid Dynamics: The Finite Volume Method", Longman Scientific & Technical, Longman Group Limited, (1995), English
- [8] Launder B.E. and Spalding D.B., "The Numerical Computation of Turbulent Flows", Computer Methods in Applied Mechanics and Engineering, North-Holland publishing Company, (1974), pp. 269-289
- [9] Rodi, W.A., "New Algebraic Relations for Calculating the Reynolds Stresses", Z. Angew. Math. Mech. (ZAMM), vol. 56, pp. T219-T221, (1976)

---

**សัญลักษณ์**


---

$C_{\varepsilon}, C_{\mu}$	ค่าคงที่ใน dissipation rate equation	สัญลักษณ์กรีก
$C_{\mu}$	ค่าคงที่ใน $k - \varepsilon$ turbulence model	$\varepsilon$ dissipation of turbulent kinetic energy
$G$	stress generation	$\phi$ ตัวแปรที่พิจารณา
$k$	turbulence kinetic energy	$\mu$ ความหนืด
$L$	ความยาวจากทางเข้าถึงช่องฉีด	$\Gamma_{\phi}$ สัมประสิทธิ์ของการแลกเปลี่ยน
$H$	ความสูงของช่องการไหล	$\rho$ ความหนาแน่น
$H_s$	ความกว้างของช่องฉีด	$\sigma$ turbulent Prandtl number
$p$	ความดันเฉลี่ย	$\delta_{ij}$ Kronecker delta tensor
$s$	general source term	$\tau_{ij}$ Reynolds stress tensor
$u$	ความเร็วเฉลี่ยในแกน $x$	ตัวห้อย
$v$	ความเร็วเฉลี่ยในแกน $y$	$e$ effective
$U_{ref}$	ความเร็วเฉลี่ยภายในช่องฉีด	$i, j, k$ cartesian indices
$W$	ความกว้างของช่องฉีดที่ผนัง	$t$ turbulent
$x$	พิกัดในแนวอน	$l$ laminar
$y$	พิกัดในแนวตั้ง	